

"Новые виды древ. беспозвоночных и  
раст. нефтегазоносн. провинций Сибири".  
Новосибирск, 1984.

М е с т о н а х о ж д е н и е. Красноярский край, Кыксинская 75  
скв. 3-Р, гл. 1024-1046 м, яновстанская свита.

М а т е р и а л. Два ядра левой и одно правой створок непол-  
ной сохранности с остатками раковинного слоя.

СПИСОК ЛИТЕРАТУРЫ

1. Б о р и с я к А.А. Pelecypoda юрских отложений Европей-  
ской России. Вып. 4, Aviculidae. - Тр. Геол. ком. Нов. сер, 1909, вып. 44,  
26 с.

2. З а х а р о в В.А. Позднеюрские и раннемеловые двуствор-  
чатые моллюски севера Сибири и условия их существования (отряд  
Anisomyaria). М., Наука, 1966, 183 с.

3. Л а г у з е н И.И. Фауна юрских отложений Рязанской гу-  
бернии. - Тр. Геол. ком., 1883, т. I, № I, 94 с.

4. A r k e l l W.L. A monograph of british corallian Lyellia-  
libranchia. - Palaeontographicae Soc., 1929-1937, vol. 81-90, 392 p.

И.Г. Климова

1984

АММОНИТЫ ВАЛАНЖИНСКОГО РОДА ТЕМНОПТХИТЕС  
(СЕМЕЙСТВО CRASPEDITIDAE) СЕВЕРА СИБИРИ

Два новых вида рода *Temnoptychites*, которые описаны в этой статье,  
интересны не только как новые, не известные ранее представители  
этого большого и очень важного для стратиграфии бореального ва-  
ланжина рода аммонитов. Благодаря им получены новые данные по так-  
сономии и филогении темноптихитов: впервые установленный *Temnopty-*  
*chites* (Т.) *intermedius* sp. nov. является переходной формой между  
подродами *Temnoptychites* s. str. и *Subtemnoptychites*; Т. (*Rus-*  
*sanovia*) *euriptychooides* sp. nov. расширил объем и географиче-  
ский ареал ранее моновидового подрода *Rusvanovia*.

Семейство *Craspeditidae* Spath, 1924

Род *Temnoptychites* Pavlov, 1913

*Temnoptychites* (*Temnoptychites*) *intermedius* Klimova sp. nov.

Табл. XXIV, фиг. 5; табл. XXV, фиг. 2; табл. XXVI, фиг. I, 2

Н а з в а н и е в и д а от *intermedius* (лат.) - промежу-  
точный.

Г о л о т и п - № А8/6-5. СНИИГТИМС; р. Анабар, нижний валан-  
жин, зона *Temnoptychites suzranicus*.

О п и с а н и е. Форма достигает больших размеров. Установ-  
лено пять морфогенетических стадий: начальная гладкая, зародения

76 скульптуры, двойного ветвления, неупорядоченной ребристости, конечная гладкая. Первые две стадии по причине сохранности аммонита не изучались. Продолжительность стадии двойного ветвления превышает два оборота. В этой стадии раковина дисковидная с плоскими параллельными боковыми сторонами, перпендикулярными к уплощенной вентральной стороне (табл. XXV, фиг. I). В начале стадии вентральная сторона вдвое меньше боковых, затем сравнивается с ними и к концу стадии несколько превышает их. Соответственно изменяется форма поперечного сечения от субпрямоугольноовальной, вытянутой в высоту, до субквадратной с равными величинами В и Ш (табл. I). Эта стадия характеризуется редкими, очень четкими, широко расставленными двойными пучками ребер. Умбиликальные ребра начинаются на умбиликальном перегибе, на середине бока они раздваиваются. Общее направление ребер радиальное. Вентральные ребра серповидно изгибаются, на середине вентральной стороны ребра очень сильно понижаются, почти исчезают, образуя широкую гладкую полосу.

Стадия неупорядоченной ребристости (см. табл. XXV, фиг. 5; табл. XXVI, фиг. 2) протяженностью больше одного оборота. Эта стадия от предыдущей отличается скульптурой — двойные пучки бессистемно чередуются с одиночными ребрами. К концу стадии заднее ребро в пучке становится вставным, приближаясь нижним концом к одиночному переднему ребру. В начале стадии ребра очень сильно понижаются на ventre, к концу стадии сглаживаются на всей боковой поверхности и на ventre, оставаясь только на границе боковых и вентральной сторон. С исчезновением скульптуры на боках совпадает сужение и закругление вентральной стороны и приобретение раковины формы платикона. В этой стадии умбиликус умеренно узкий, углубленный. Умбиликальная стенка по-прежнему гладкая, но становится выше и совершенно отвесной.

Конечная гладкая стадия охватывает больше двух оборотов (табл. XXVI, фиг. 2). Для этой стадии характерны полное отсутствие скульптуры и платиконическая форма раковины. Боковые стороны широкие, уплощенные, покато поставленные к узкой закругленной вентральной стороне. Поперечное сечение треугольно-овальное.

Жилая камера не сохранилась.

Лопастная линия (рис. I) типична для рода *Temnoptychites*. Записать ее изменение в онтогенезе не удалось из-за недостаточной сохранности экземпляра.

**С р а в н е н и е.** В стадии двойного ветвления описываемый вид очень близок к *Temnoptychites* (T.) *szuzranicus* (Pav.) [II, табл. УШ, фиг. I2; I, с. 2I, табл. П, фиг. I; 2, с. 20I, табл. Ш, фиг. 2; 5,

с.102, табл. I, фиг. I-5] и Т. (*Subtemnoptychites*) *costatus* Klim. 77 [5, с.110, табл. II, фиг. I, 2, 3]. Отличается большей сжатостью раковины и значительным понижением ребер на ventre, тогда как у Т.

Т а б л и ц а I

Размеры раковины *Temnoptychites intermedius* Klim., обр.

АВ/б-5

Д	Ш. умбиликуса	В	в	Т	Ш. умбиликуса	В в % к Д	В	Т
25	?	11	5	12	?	44	20	45
54	?14	22	12	24	?26	40	22	44
70	17	?35	20	33	24	50	27	43

(Т.) *szuzranicus* Pavl. ребра на ventre совершенно сглаживаются, а у Т. (S.) *costatus* Klim. очень слабо понижаются. В стадии неупорядоченной ребристости изучаемый аммонит формой раковины и скульптурой напоминает Т. (*Subtemnoptychites*) *prodigialis* Klim. [5, с.107, табл. II, фиг. 5]. Отличается значительно более сильным понижением



Р и с. I. Наружная часть лопастной линии *Temnoptychites* (*Temnoptychites*) *intermedius* Klim. sp. nov. в стадии неупорядоченной скульптуры, x2,5

Кроме того, исходя из описания последнего (там же), у Т. (Т.) *grandiosus* исчезновение скульптуры происходит не так, как у изучаемой формы (т.е. сначала в верхней части раковины, затем в нижней), а наоборот, и остаются умбиликальные бугры.

В конечной гладкой стадии наша форма не отличима от Т. (Т.) *grandiosus* Voron. [3, с.73, табл. XXXIII, фиг. I], Т. (Т.) *grandis* Klim. [4, с.154, табл. II, фиг. I] и очень сходна с другими платиконическими формами краспедитид, такими как *Neotollia*, *Tollia* и др. Отличиями в последнем случае являются разная ширина умбиликуса и размеры поперечного сечения.

З а м е ч а н и я. Описываемый вид занимает промежуточное положение между темноптихитами, относящимися к подроду *Subtemnoptychites* [5, с.100], и группой *Temnoptychites* s. str., которые отличаются крупными размерами, гладкой платиконической раковинной в

ребер на ventre, более тонкими и низкими ребрами. Скульптура в этой стадии аналогична скульптуре Т. (Т.) *grandiosus* Voronetz [3, с.73, табл. I, фиг. I]. Отличие заключается в форме поперечного сечения: субквадратной у описываемого вида и треугольно-овальной у сравниваемого.

78 конечной стадии морфогенеза и упрощенной скульптурой в предыдущих стадиях. В эту группу входят *T. (T.) grandiosus* Voronetz [3, с. 73, табл. XXXVIII, фиг. I, 2; табл. XLVII, фиг. I; табл. L, фиг. I], *T. (T.) simplex inflatus* Bodyl. [2, с. 106, табл. VI, фиг. I, 2; табл. VII, фиг. I, 2; табл. VIII, фиг. I], *T. (T.) grandis* Klim. [4, с. 154, табл. II, фиг. I; табл. III, фиг. I]. Следует сказать, что отличия между этими близкими видами достаточно четкие и не являются внутривидовой изменчивостью, как это утверждает Е. Д. Елецкий [10, с. 79].

Распространение. См. голотип.

Местонахождение. Ур. Климовский Утес на левом берегу р. Анабара в 6 км выше пос. Уркинг-Хая. Осыпь слоев.

Материал. Голотип.

*Temnoptychites (Russanovia) euriptychoides* Klimova sp. nov.

Табл. XXIV, фиг. I-4; табл. XXV, фиг. 2-3; табл. XXVI, фиг. 3, 4, рис. 2

Название вида по сходству с родом *Euriptychites*.

Голотип - № III/2. СНИИГТИМС, Таймырская низменность, р. Лопигай. Нижний валанжин, зона *Temnoptychites syzranicus*.



Р и с. 2. Лопастная линия *Temnoptychites (Russanovia) euriptychoides* Klim. sp. nov. в стадии тройных пучков,  $\times 1,7$

Описание. Сохранность материала не позволила изучить первые две морфогенетические стадии - гладкую и возникновения скульптуры. Наблюдения ведутся со стадии двойного ветвления (см. табл. XXIV, фиг. I, 2), продолжительность которой не известна. Форма раковины в процессе роста особи изменяется от толстой до очень вздутой бочонковидной. В стадии двойного ветвления ребер имеются узкие боковые стороны, которые параллельны друг другу и перпендикулярны к широкой вентральной стороне, выгнутой в виде пологой арки. Поперечное сечение субпрямоугольноизогнутое - внутренняя высота и высота умбиликальной стенки одинаковы. Умбиликус умеренно широкий (табл. 2), углубленный. Умбиликальная стенка слабо покатая, гладкая, невысокая. Умбиликальный перегиб закругленный. В самом

верху умбиликальной стенки возникают ребра, которые на границе с вентральной стороной раздваиваются, образуя вильчатые двойные пучки. На середине вентра вначале наблюдается чуть заметное, затем сильное понижение ребер. Направление ребер почти совпадает с радиусом. Конец стадии фиксируется появлением первого тройного пучка ребер. Следующая стадия тройных пучков (см.табл.ХХIV, фиг.3,4; табл.ХХV, фиг.2; табл.ХХVI, фиг.3). Ее продолжительность – оборот с четвертью. Характерные признаки стадии – усиление вздутости раковины, сильное расширение вентра, преобладание тройных пучков ребер над двойными и появление умбиликальных бугров. В течение этой стадии узкие боковые стороны исчезают, и вентральная сторона начинается от зауженного умбиликального перегиба. Умбиликальная стенка становится выше. Поперечное сечение по-прежнему субпрямоугольноизогнутое. В начале стадии умбиликальные ребра становятся короче и приподнимаются, в конце превращаются в продолговатые, приостренные невысокие бугорки, от которых отходят нечеткие вентральные ребра. В середине вентра ребра очень сильно понижаются. В конце стадии все ребра исчезают, остаются невысокие вздутия на месте существования пучка, повторяющие его очертания. Скульптура остается только на умбиликальном перегибе в виде бугорков. Ширина умбиликуса прежняя. Гладкая конечная стадия охватывает больше двух оборотов (см.табл.ХХV, фиг.3; табл. ХХVI, фиг.4). Раковина становится кадиконической и достигает крупных размеров. Умбиликус широкий. Умбиликальная стенка высокая, почти отвесная. Умбиликальный перегиб узкий. Скульптура представлена грубыми невысокими буграми, расположенными на умбиликальном перегибе. В этой стадии оборот как бы перегнут по плоскости симметрии. Поперечное сечение не субпрямоугольноовальное, а субпрямоугольноперегнутое.

Жилая камера не сохранилась.

Лопастная линия (см.рис.2) характеризуется воздымающейся сутуральной лопастью, образовавшейся в результате девятикратного деления внутренней лопасти I (изменение лопастной линии в онтогенезе зарисовать не удалось). Лопасты и седла сильно изрезаны и усложнены вторичными элементами, преимущественно узкие.

С р а в н е н и е. Описываемый вид на основании формы раковины и понижения, а не сглаживания ребер на вентральной стороне принадлежит к подроду *Temnoptychites* (*Russanovia*) [2, с.109; 8, с.17; 5, с.100], известному до настоящего времени в объеме одного вида *T. (R.) diptycha* (Keyserling) [2, с.109, табл.УП, фиг.3; табл. X, фиг.1-3]. Отличия изучаемой формы от единственного известного представителя этого подрода заключаются в форме раковины – кадикониче-

Размеры раковины *Temnoptychites euriptychooides* Klim.,  
обр. П/2

Д	Ш. умбиликуса	В	в	Т	Ш. умбиликуса	в % к Д		
						В	в	Т
2I	?	9	5	13	-	43	24	62
33	10	10	8	22	33	33	21	66
53	18	20	10	38	32	32	19	72
7I	20	24	13	55	28	33	18	78
105	31	31	16	94	30	30	15	88
?140	?43	?63	30	160	30	45	21	114

ской, а не просто вздутой, в более коротких стадиях двойных и тройных пучков, в расплывчатости скульптуры и полном исчезновении ребер в конечной гладкой стадии. К сожалению, все экземпляры сравниваемого вида изображены в стадиях только двойных и тройных пучков и не известно их дальнейшее изменение в процессе роста.

Судя по изображению, к новому виду очень близок аммонит, описанный А.П. Павловым из валанжина р. Анабара как *Euriptychites gravesiformis* (Pavl.) [7, с. 37, табл. XI, фиг. 2]. Недостаточно информативное описание, что является результатом неполной сохранности экземпляра А.П. Павлова, не позволяет судить о степени его тождества с описываемым.

*Thorsteinssonoceras ellesmerensis* Jeletzky из валанжина Арктической Канады, который его автор относит к варианту, сходному с *Euriptychites gravesiformis* (Pavl.) [9, с. 5, табл. III, фиг. I; табл. IV, фиг. I], по форме раковины, исчезновению скульптуры и характеру лопастной линии также очень близок к изучаемому виду. Отожествлять их не позволяет отсутствие сведений о внутренних оборотах канадской формы.

Р а с п р о с т р а н е н и е. Нижний валанжин, зона *Temnoptychites sibiricus* зевера Сибирской платформы, возможно, нижний валанжин Арктической Канады.

М е с т о н а х о ж д е н и е. Обнажение в 5,5 км от устья на левом берегу р. Дулган, правого притока р. Попигай (Таймырская низменность). Осыпь слоев.

М а т е р и а л. Голотип.

#### СПИСОК ЛИТЕРАТУРЫ

I. Б о г о с л о в с к и й Н.А. Материалы для изучения ниж-

немеловой аммонитовой фауны центральной и северной России. — Тр. в Геол. ком. Нов. сер., СПб, 1902, вып.2, 161 с.

2. Б о д ы л е в с к и й В.И. Юрские и меловые фауны Новой Земли. — Зап. Ленингр. горного ин-та, 1967, т.3, вып.2, с.99–122.

3. В о р о н е ц Н.С. Стратиграфия и головоногие моллюски юрских и нижнемеловых отложений Дено–Анабарского района. — Тр. НИИГА, М., Госгеолтехиздат, 1962, т.110, 237 с.

4. Г о л ь б е р т А.В., К л и м о в а И.Г., С а к с В.Н. Опорный разрез несокома Западной Сибири в Приполярном Зауралье. Новосибирск, Наука, 1972, 183 с.

5. К л и м о в а И.Г. К систематике аммонитов р. *Temnoptychites* (новые и дополнительные данные). — В кн.: Новые материалы по стратиграфии и палеонтологии Сибири. Новосибирск, 1978, с.98–114.

6. Л у п п о в Н.П., Б о д ы л е в с к и й В.И., Г л а з у н о в а А.Е. Класс *Cephalopoda*. Головоногие. — В кн.: Атлас руководящих форм ископаемых фаун СССР. М., Госгеолтехиздат, 1949, с.183–252.

7. П а в л о в А.П. Юрские и нижнемеловые *Cephalopoda* Северной Сибири. — Зап. АН. Сер. 8. 1914, т.21, № 4, 68 с.

8. Ш у л ь г и н а Н.И. Граница юры и мела в Бореальном поясе на основании изучения аммонитов. — Автореф. дис. на оиск. учен. степ. д-ра геол.-минерал. наук. Новосибирск, 1975, 38 с.

9. J e l e t z k y J.A. *Thorsteinssonoceras*: A new *Craspeditid* ammonite from the Valanginian of Ellesniere Island, Arctic Archipelago; *Geol. Surv. Canada Bull.* 120, 1965, 16 p.

10. J e l e t z k y J.A. *Eurasian craspeditid genera Temnoptychites and Tollia* in the lower Valanginian of Sverdrup Basin. district of Franklin. *Geol. Surv. Canada Bull.* 229, 1979, 89 p.

11. P a v l o w A. et L a m p l u g h G. *Argiles de Speton et leurs équivalents* — *Bull. Soc. Natur, Moscou, Nouv. ser.*, 1892, vol. 5, 206 p.

С.П. Булыникова

#### НОВЫЕ ПОЗДНЕВОЛЖСКО–НЕОКОМСКИЕ АГГЛЮТИНИРУЮЩИЕ ФОРАМИНИФЕРЫ СИБИРИ

В комплексах фораминифер из пограничных горизонтов юра–мел и несокома Западной и северо–запада Восточной Сибири значительное место занимают представители отрядов *Asorhizida* Lankaster, 1885 и *Ammodiscida* Furssenko, 1958, многие из которых остаются слабоизученными. Особенно это относится к семейству *Saccamminidae* H. V. Brady, 1884.

В статье приводится описание новых видов из этих двух семейств, а также *Astrorhizidae* Brady, 1881 и *Hormosinidae* Haeskel, 1894. Они восполняют пробел в видовой характеристике комплексов фораминифер, повышают точность биофациального анализа и могут использоваться для определения возраста вмещающих отложений.

Минеральный состав стенки раковин фораминифер любезно определен научным сотрудником СНИИГТИМСа В.П.Девятовым, рисунки выполнены художниками-палеонтологами В.И.Жарковым и Ф.И.Зайцевой.

Отряд *Astrorhizida* Lankaster, 1885

Надсемейство *Astrorhizidea* H.B.Brady, 1881

Семейство *Saccamminidae* H.B.Brady, 1884

Род *Saccamina* M.Sars in Carpenter, 1869

*Saccamina* *paхаensis* Bulynnikova sp.nov.

Табл. XXVII, фиг. 1-6

На з в а н и е в и д а по п-ову Пакса.

Г о л о т и п - № ИФБ /13-1. СНИИГТИМС; Сибирская платформа, п-ов Пакса, обн.32; верхний подъярус волжского яруса, зона *Strapedites okensis*, паксинская свита.

О п и с а н и е. Раковина от округлой до широкоовальной в очертании, в основном умеренно уплощенная, деформированная. Поверхность бугристая, у слабо деформированных экземпляров более ровная и гладкая.

Стенка толстая, но эластичная, состоит из зерен кварца величиной от 0,05 до 0,48 мм, скрепленных небольшим количеством кремнистого цемента. Внутренняя поверхность стенки имеет хитиноидную выстилку, обрывки которой видны в шлифах раковин. Цвет стенки от грязно-белого до светло-коричневого.

Устье почти неразличимо, располагается в небольшом углублении или на конце приостренного чуть заметного горлышка.

Очертания раковин *Saccamina paхаensis*, строение устьевой поверхности и размеры варьируют незначительно.

Р а з м е р ы голотипа, мм: длина - 0,65; ширина - 0,50; толщина - 0,12.

Размеры 18 экземпляров, мм: длина - 0,52-1,07; ширина 0,55-1,07; толщина - 0,1-0,16.

С р а в н е н и е. От наиболее похожих *Saccamina orbiculata* Bulat. и *S.testideformabilis* Bulat. из альбских отложений Западной Сибири отличается строением устьевой поверхности, толщиной стенки и размерами раковин [5].



правой створки изнутри, х5; верхний плинсбах, р.Сингюде, обн.2, слой 2; 97  
5 - экз. № 745/37, вид левой створки изнутри, х3; 6 - экз. № 745/38,  
вид правой створки изнутри, х3; 7 - экз. № 745/36, вид со стороны  
левой створки, х3; верхний плинсбах, р.Келимяр, обн.12, слой I.

Фиг. 8. *Neocrassina* (*Siungindella*) *orbiculata* subgen. et sp.  
nov. Голотип № 745/39: 8a - вид правой створки снаружи, 8б - вид  
правой створки изнутри, х3; верхний плинсбах, р.Тинг, обн.2, слой 5.

#### Т а б л и ц а XXIII

Фиг. I-6. *Meleagrinnella lata* *Turbina* sp. nov. I - экз.  
№ 332/35 - ядра левых створок, Вяткинская скв. 4-Р, гл. I668-I678 м;  
2a - экз. № 332/36 - ядра левых створок, 2б - то же, х2, Елогуй-  
ская скв. I-Р, гл. I225-I23I м, нижний кимеридж; 3 - экз. № 332/32,  
голотип, ядро левой створки; 4 - экз. № 332/34 - ядро правой ство-  
рки, Елогуйская скв. I-Р, гл. II65-II77 м, волжский яруо; 5 -  
экз. № 332/3I - ядро левой створки, Вяткинская скв. 4-Р, гл. I725-  
I732 м; 6 - экз. № 332/33 - ядро левой створки, Табаринская скв.  
I-IP, гл. I243-I250 м, нижний кимеридж.

Фиг. 7-8. *Meleagrinnella recta* *Turbina* sp. nov. 7 - экз. №  
332/37 - ядро правой створки; 8a - экз. № 332/28 - голотип, ядро  
левой створки, 8б - то же, х2, Мальцевская скв.2-Р, гл. II37-II47 м,  
волжский ярус.

Фиг. 9-10. *Meleagrinnella* sp. 9 - экз. № 332/29 - ядро левой  
створки, 10 - экз. № 332/30 - ядро правой створки, Кыксинская скв.  
3-Р, гл. I024-I046 м, волжский ярус.

#### Т а б л и ц а XXIV

Фиг. I-4. *Temnoptychites* (*Russanovia*) *euriptychoides* Klimova  
sp. nov. Экз. № III/2, голотип, нат.вел. I-2 - стадия двойных пуч-  
ков: Ia, 2a - вид сбоку; Ib, 2б - поперечное сечение; Iv, 2в - вен-  
тральная сторона; 3 - стадия тройных пучков: 3a - вид сбоку, 3б -  
вентральная сторона (см.табл. XXVI, фиг. 3); 4 - конец стадии трой-  
ных пучков - начало конечной гладкой стадии (см.табл. XXV, фиг. 2):  
4a - вентральная сторона, 4б - поперечное сечение.

Река Дулган, правый приток р.Пошпигай, осыпь слоев. Нижний ва-  
ланжин, зона *Temnoptychites suzranicus*.

Фиг. 5. *Temnoptychites* (*Temnoptychites*) *intermedius* Klimova  
sp. nov. Экз. № A8/6-5, голотип, нат.вел.; стадия двойных пучков  
(см.табл. XXVI, фиг. I) - поперечное сечение.

Река Анабар, Климовский Утес, осыпь слоев. Нижний валанжин,  
зона *Temnoptychites suzranicus*.

Фиг. 1. *Temnoptychites (Temnoptychites) intermedius* Klimova sp. nov. Экз. № А8/б-5, голотип, нат.вел. Стадия двойных пучков: Ia - вид сбоку, Ib - вентральная сторона, Ic - поперечное сечение (см. табл. XXIV, фиг. 5; табл. XXVI, фиг. 1, 2).

Фиг. 2, 3. *Temnoptychites (Russanovia) euriptychoides* Klimova sp. nov. Экз. № III/2, голотип (см. табл. XXIV, фиг. 1-4; табл. XXVI, фиг. 3, 4). 2 - стадия тройных пучков, вид сбоку, нат.вел. (см. табл. XXIV, фиг. 4); 3 - конечная гладкая стадия, x0,7 (см. табл. XXVI, фиг. 4); 3a - поперечное сечение, 3б - вентральная сторона.

## Т а б л и ц а ХХVI

Фиг. 1, 2. *Temnoptychites (Temnoptychites) intermedius* Klimova sp. nov. Экз. № А8/б-5, голотип, нат.вел. 1 - стадия неупорядоченной ребристости (см. табл. XXIV, фиг. 5): Ia - вид сбоку, Ib - вентральная сторона; 2 - конец стадии неупорядоченной ребристости, начало гладкой стадии, вид сбоку.

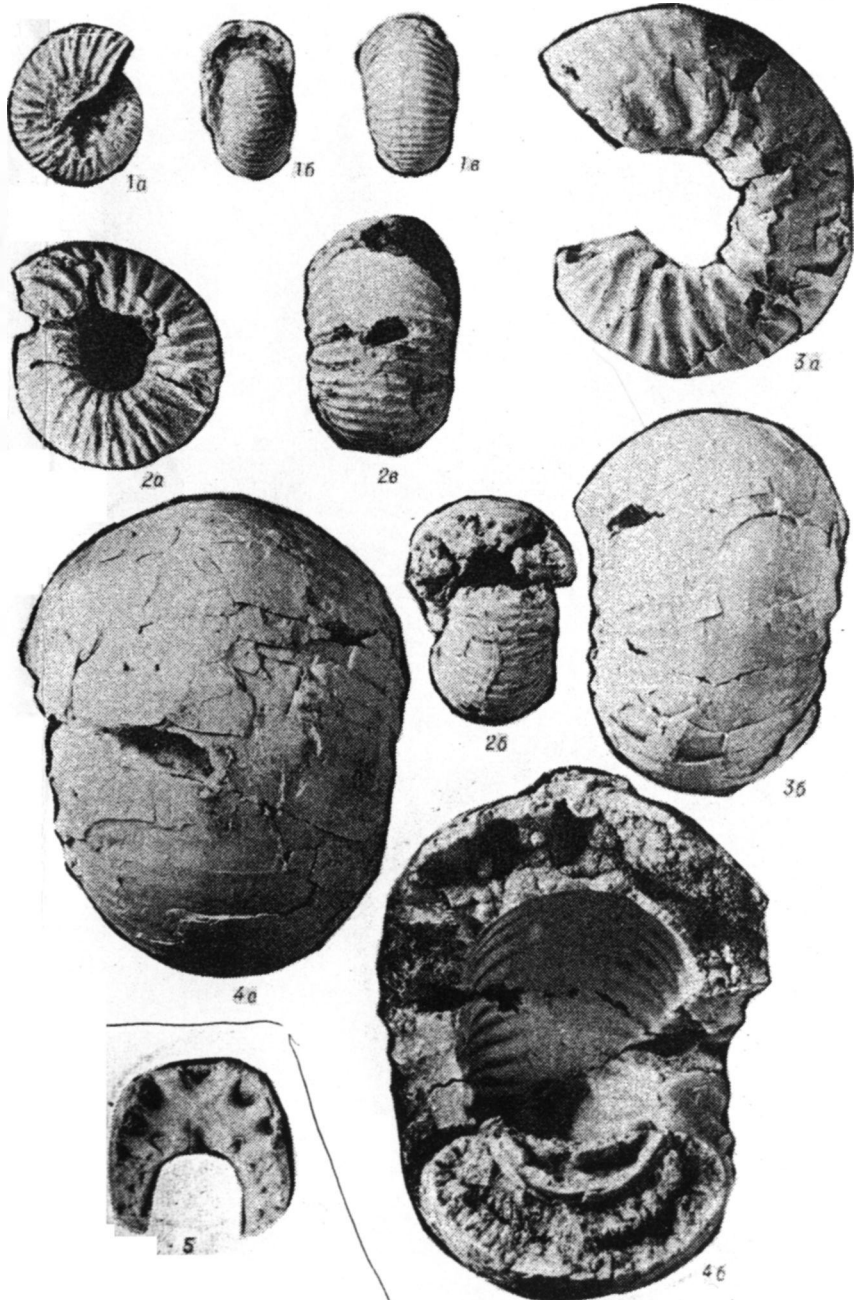
Фиг. 3, 4. *Temnoptychites (Russanovia) euriptychoides* Klimova sp. nov. Экз. № III/2, голотип. 3 - стадия тройных пучков, поперечное сечение (см. табл. XXIV, фиг. 3), нат.вел.; 4 - конечная гладкая стадия, вид сбоку, x0,7 (см. табл. XXV, фиг. 3).

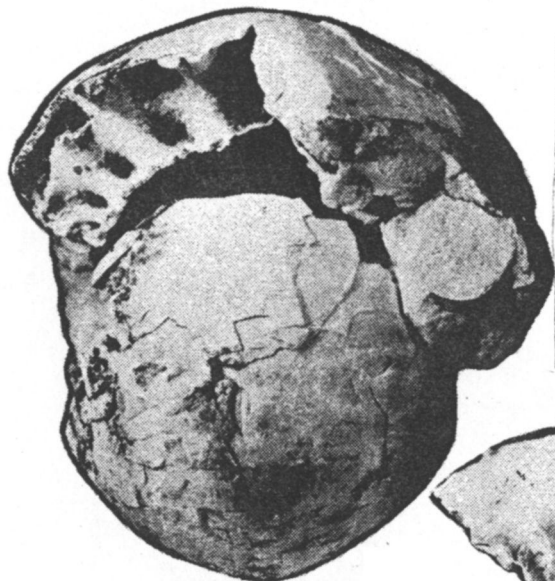
## Т а б л и ц а ХХVII

Фиг. 1-6. *Saccammina raxaensis* Bulynnikova sp. nov., x52. 1 - голотип № IФБ/13-1, 5; 2, 4 - оригиналы № IФБ/13-2, IФБ/13-3; Сибирская платформа, п-ов Пахса, обн. 32; верхний подъярус волжского яруса, зона *Craspedites okensis*; 3 - оригинал № IФБ/13-4; там же, берриасский ярус, зона *Chetaites sibiricus*; 5, 6 - оригиналы № IФБ/12-6, IФБ/12-7; Западно-Сибирская плита, Полуийский проф., скв. 22-Р, гл. 837-844 м; нижний готерив, слой с *Trochammina gyroidiniiformis* и *Acruliammina pseudolonga*.

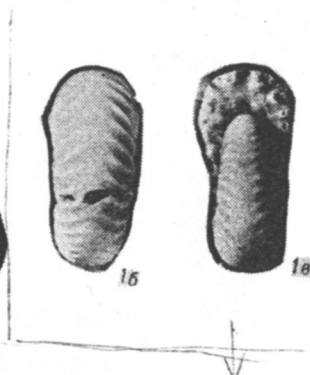
## Т а б л и ц а ХХVIII

Фиг. Ia, Ib. *Pelosinella parca* Bulynnikova sp. nov., x52. Голотип № IФБ/12-2; Западно-Сибирская плита, Полуийский проф., скв. 22-ПР, гл. 837,0-844,0 м; нижний готерив, слой с *Trochammina gyroidiniiformis* и *Acruliammina pseudolonga*.



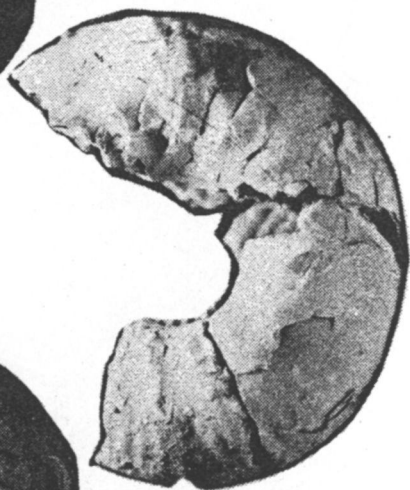


3a

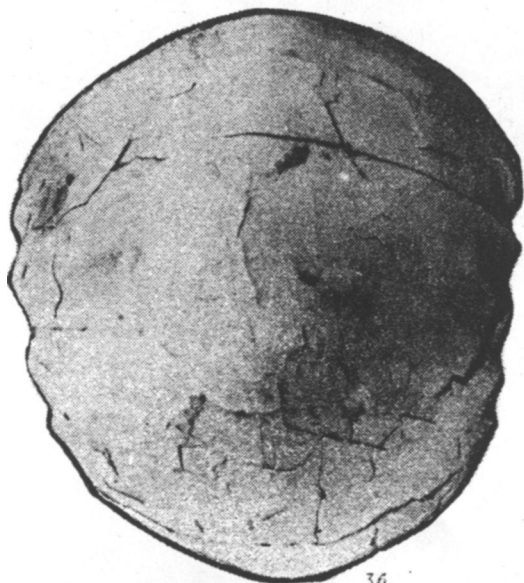


1a

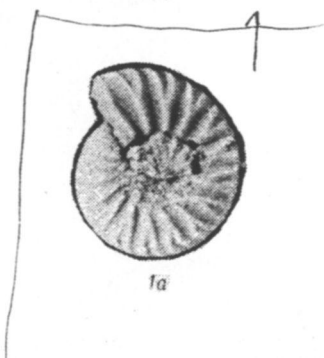
1b



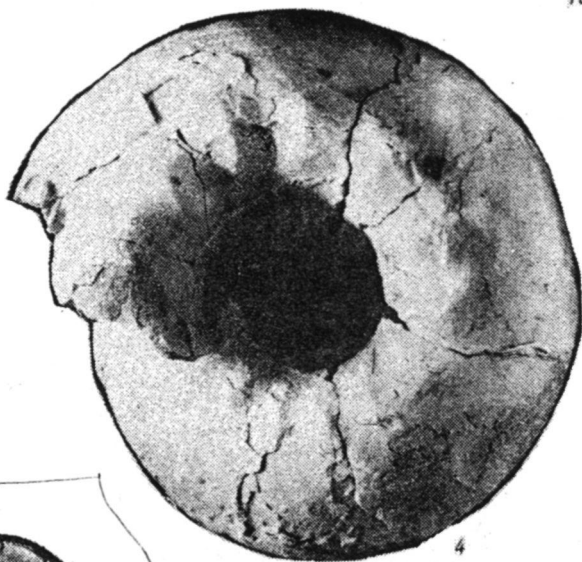
2



3b



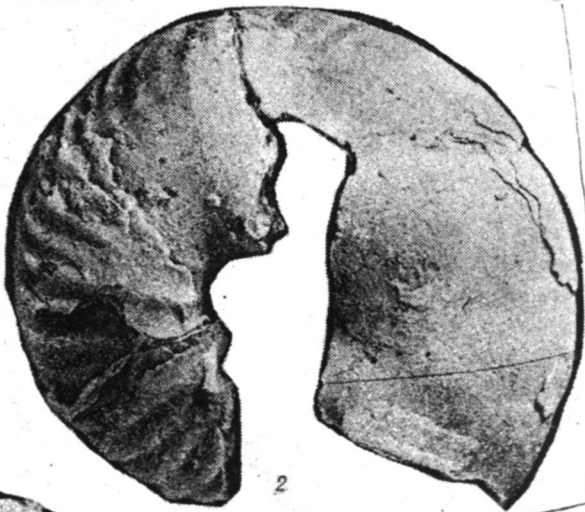
1a



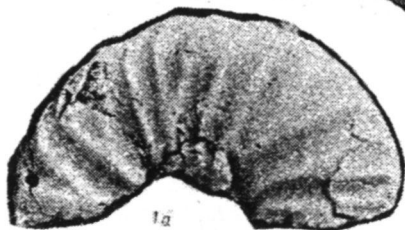
4



16



2



1a



3